

АЛГОРИТМЫ РАСПОЗНАВАНИЯ ПОДСИСТЕМ ЗАДАННЫХ СТРУКТУР
В ОДНОРОДНОЙ ВЫЧИСЛИТЕЛЬНОЙ СИСТЕМЕ

Н.Н.Миренков, С.Б.Финерман

Одна из задач диспетчера однородной вычислительной системы (OBC) [1] – организация подсистем заданной конфигурации из имеющегося набора элементарных машин (ЭМ) [2]. Сложность такой организации в реальных системах связана с функциональной неоднородностью (например, занятием некоторых подсистем приоритетными задачами, которые нельзя прерывать, или выходом машин из строя), которая приводит к необходимости объединения в единое целое "разбросанных" ЭМ.

Подсистема OBC рассматривается как подмножество ЭМ, обладающее возможности реализации, по крайней мере, одного режима функционирования из некоторого заданного набора. Режимы функционирования определяются классами решаемых задач и способами использования ресурсов подсистемы. Для подсистем выделяются [2,3] следующие основные режимы работы: диспетчера, автономной работы ЭМ, параллельной обработки, профилактики.

Для разных режимов функционирования необходимы, вообще говоря, подсистемы разной структуры. Однако можно найти достаточно универсальные структуры, на которых реализуются фактически все основные режимы. Структура считается универсальной, если она может выполнить любую схему обменов между ЭМ из полного набора схем [4]. Поскольку схемы обменов в разных структурах реализуются с различной скоростью, то важно для каждого режима выбрать наиболее часто используемые схемы обменов и, опираясь на это, наиболее эффективные структуры.

Установлено, что для n -мерных OBC, в которых каждая ЭМ связана с $2 \times n$ соседними, наиболее эффективны структуры подсистем^{*}, представленные на рис. I. Анализ возможности реализации таких структур на заданном подмножестве ЭМ – одна из важных функций Главного диспетчера OBC, управляющего разбиением системы на подсистемы [5].

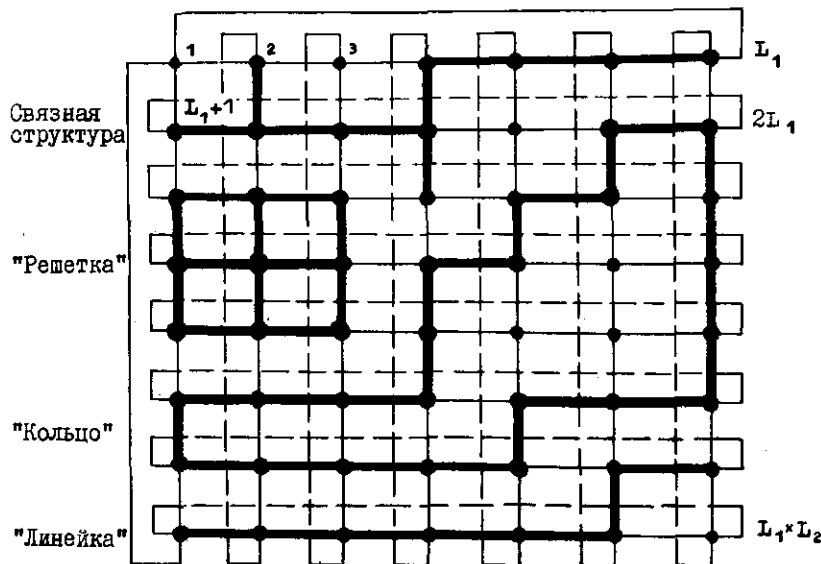


Рис. I. Основные структуры подсистем

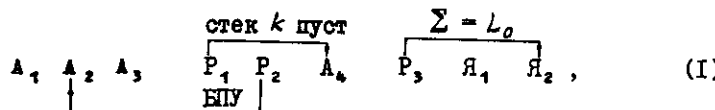
I. Связная структура.

ОПРЕДЕЛЕНИЕ 1. Подмножество элементарных машин $M = \bigcup_{k=1}^{L_0} M_{i_k}$ позволяет реализовать подсистему "связной" структуры, если для каждой пары ЭМ (M_{i_1}, M_{i_2}) существует связывающий их путь, проходящий через $M_j \in M$.

ОПРЕДЕЛЕНИЕ 2. Две ЭМ M_{i_1} и M_{i_2} называются соседними, если модуль разности $i_1 - i_2$ равен одной из следующих величин $1, L_1, L_1 - 1, L_1(L_2 - 1)$, где L_1, L_2 – число ЭМ в OBC соответственно по осям X, Y .

^{*}) Для наглядности алгоритмы рассматриваются на двумерных E_n -графах [6].

Алгоритм^{*)}, распознавший связные структуры, может быть представлен в виде следующей операторной схемы:



где $A_1 - k := 0$; выбирает произвольную ЭМ $M_{i_0} \in M$ и заносит её номер в стек с номером k ;

$A_2 - k := k + 1$;

A_3 - в стек k заносит номера машин, которые 1) не содержатся ни в одном из предыдущих стеков; 2) соседние с машинами из стека $k - 1$;

P_1 - передает управление (ПУ) на A_4 , если стек k пуст;

P_2 - безусловно передает управление (БПУ) на A_2 ;

A_4 - вычисляет общее количество Σ ЭМ, зарегистрированных во всех стеках;

P_3 - ПУ на A_2 , если $\Sigma = L_0$ (L_0 - число ЭМ в подмножестве M);

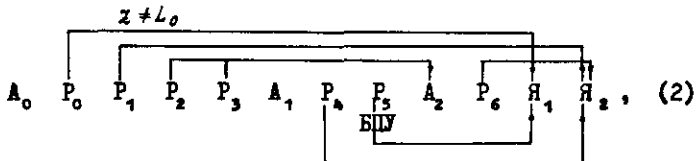
$Я_1$ - оператор окончания, сигнализирующий о невозможности реализовать связную подсистему;

$Я_2$ - оператор успешного окончания.

2. Структура "решетка".

ОПРЕДЕЛЕНИЕ 3. Подмножество ЭМ $M = \bigcup_{k=1}^{L_0} M_{i_k}$ позволяет реализовать подсистему структуры "решетка" размером $n_1 \times n_2 = L_0$, если она умещается на прямоугольнике таких же размеров^{**)}.

Алгоритм, распознавший эту структуру, может быть представлен в виде следующей операторной схемы:



^{*)} Алгоритмы решения подобной задачи см. также в [7,8].

^{**)} Расстояние между соседними ЭМ считается равным единице.

где A_0 - вычисляет $z = n_1 \times n_2$;

P_0 - ПУ на $Я_1$, если $z \neq L_0$;

P_1 - ПУ на $Я_2$, если $(n_1 \times n_2 = L_1 \times L_2) \wedge (n_1 \times n_2 = L_1 + L_2)$;

P_2 - ПУ на A_2 , если $(n_1 = L_1) \vee (n_2 = L_2)$, при этом в стек заносится n_1 ;

P_3 - ПУ на A_2 , если $(n_2 = L_1) \vee (n_1 = L_2)$, при этом в стек заносится n_2 ;

A_1 - вычисляет $\alpha = 2(n_1 + n_2) - 8$, $b = L_0 - 2(n_1 + n_2) + 4$;

P_4 - ПУ на $Я_2$, если выполняются следующие соотношения: $L(2) = 4$, $L(3) = \alpha$, $L(4) = b$, $L(j)$ - число ЭМ в подмножестве M , которые имеют по j соседей из M ;

P_5 - БПУ на $Я_1$;

A_2 - вычисляет $\alpha = 2X$, где X - содержимое стека и $\beta = L_0 - \alpha$;

P_6 - ПУ на $Я_2$, если $(L(3) = \alpha) \wedge (L(4) = \beta)$;

$Я_1$ - оператор окончания, сигнализирующий о невозможности реализовать "решетку";

$Я_2$ - оператор успешного окончания.

2. Структура "линейка".

ОПРЕДЕЛЕНИЕ 4. Подмножество ЭМ $M = \bigcup_{k=1}^{L_0} M_{i_k}$ позволяет реализовать подсистему структуры "линейка", если через его элементы можно провести гамильтонову цепь [9].

ОПРЕДЕЛЕНИЕ 5. Пусть $\bar{M}_i \subset M$ - подмножество ЭМ, соседних с элементом M_i ; G_{M_i} - число ЭМ в \bar{M}_i . Шаг из $M_i \in \bar{M}_i$ называется наиболее вероятным, если $G_{M_\alpha} = \max_{Y \in \bar{M}_i} G_Y$.

ОПРЕДЕЛЕНИЕ 6. ЭМ M_i считается элементом сгущения, если $G_{M_i} = 4$. Подмножество, состоящее из связной структуры элементов сгущения и соседей последних, называется подмножеством сгущения.

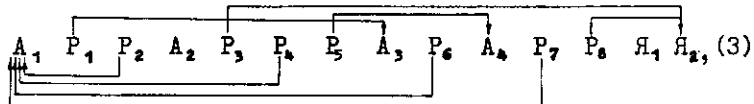
ОПРЕДЕЛЕНИЕ 7. Подмножество M называется повышенной связности, если среди всех дуг, связывающих эти элементы, не существует таких, из которых удаление одной или двух (инцидентных одной вершине) сделало бы подмножество несвязным.

ОПРЕДЕЛЕНИЕ 8. Дуга (M_{i_1}, M_{i_2}) называется ближайшей параллельной дуге (M_{i_3}, M_{i_4}) , если машины $M_{i_1}, M_{i_2}, M_{i_3}, M_{i_4}$ являются вершинами квадрата, сторона которого равна единице.

Распознавание подсистем линейной структуры выполняется в два этапа (предполагается, что рассматриваемое подмножество позволяет реализовать связную структуру):

- на первом выделяются подмножества повышенной связности,
- на втором прокладываются гамильтоновы цепи в выделенных подмножествах.

Первый этап является подготовительным и реализуется с помощью алгоритма (I) путем проверки связности каждого подмножества, получающегося из заданного исключением дуги, не имеющей ближайшей параллельной и элемента, имеющего четырех соседей:



где A_1 - выбирает очередной элемент рассматриваемого множества;

P_1 - ПУ на A_3 , если выбранный элемент имеет 4 соседних;

P_2 - ПУ на A_1 , если для каждой дуги, связывающей выбранный элемент с соседними, существует ближайшая параллельная дуга;

A_2 - с помощью алгоритма (I) проверяет для каждой дуги, не имеющей ближайшей параллельной, связность подмножества, из которого она исключена (для элемента с двумя соседними достаточно проверить одну дугу, для элемента с тремя соседними проверяются все дуги);

P_3 - ПУ на $Я_2$, если выявились три дуги, исключение каждой из которых делает (под)множество несвязным;

P_4 , P_6 - ПУ на A_1 , если (под)множество оказалось связным;

A_3 - проверяет с помощью алгоритма (I) связность (под)множества, из которого исключен выбранный элемент;

P_5 - ПУ безусловно на A_4 ;

A_4 - разбивает (под)множество, содержащее выбранный элемент, на два подмножества: в первое - включаются ЭМ, находящиеся в стеках после работы алгоритма (I), во второе - остальные ЭМ разбиваемого (под)множества. Если выбранный элемент имеет четыре соседних, то он помечается и включается в оба подмножества, иначе - он помечается вместе с соседним элементом, определяемым дугой, выбрасывание которой делает (под)множество несвязным, и включаются они в разные подмножества;

P_7 - ПУ на A_1 , если не все элементы исходного множества проверены;

P_8 - ПУ на $Я_2$, если существуют выделенные подмножества, у которых число помеченных элементов больше двух;

$Я_1$ - оператор успешного окончания работы алгоритма;

$Я_2$ - оператор окончания, сигнализирующий о невозможности организовать в исходном множестве линейную структуру.

В результате работы алгоритма (3) исходное множество разбивается на подмножества повышенной связности, в каждом из которых существуют помеченные элементы (см. рис. 2).

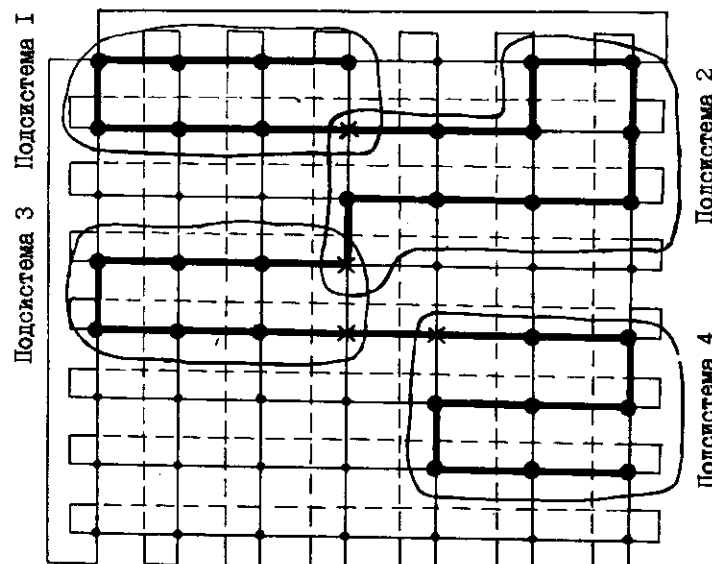
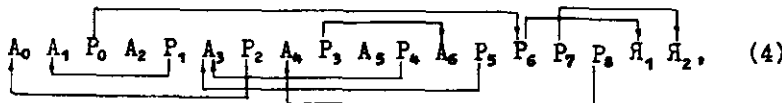


Рис. 2. Подмножества повышенной связности;
* - помеченные элементы

Второй этап по распознаванию линейных структур - прокладывание гамильтоновых цепей в этих подмножествах. Причем различаются случаи, когда помечены начальный и конечный элементы цепи (подсистемы 2 и 3, см. рис. 2) и когда задан только начальный элемент (подсистемы 1, 4). Если исходное множество само повышенной связности, то за начальный элемент берется ЭМ с ми-

максимальным числом соседних. Алгоритм прокладывания цепи представляет собой преимущественное движение наиболее вероятными шагами. Через несколько шагов проверяется связность оставшейся части рассматриваемого подмножества. Если связность имеет место, то проложенный путь считается приемлемым, иначе делается один или несколько шагов назад и прокладывание возобновляется по новому направлению. При одиночном отступлении алгоритм является точным, при многошаговом — эвристическим. Последнее используется в подмножествах сгущения и позволяет значительно сократить время реализации при большом числе машин в подсистеме.

Операторная схема алгоритма имеет следующий вид:



где $A_0 - x := 0$;

$A_1 - \alpha := I$, если среди путей, исходящих из выделенной точки, существуют непомеченные направления; иначе $\alpha := 0$ (помеченным считаются: направление в сторону конечного элемента цепи, когда не все остальные элементы пройдены, и направление, которое раньше привело к неудачной попытке, см. операторы A_5 и A_6);

$P_0 - ПУ на P_6$, если $\alpha = 0$;

A_2 — из выделенной точки делает наиболее вероятный шаг, исключая помеченные направления; $x := x + 1$; новая точка становится выделенной;

$P_1 - ПУ на A_1$, если $x \leq k$ (k — целая константа, связанная с конкретной реализацией);

$A_3 - \beta := I$, и последняя точка пути назначается выделенной, если элементы подмножества, не охваченные пройденными шагами, позволяют реализовать связную структуру; иначе $\beta := 0$;

$P_2 - ПУ на A_6$, если $\beta = I$;

$A_4 - \gamma := I$, если k последних элементов в пройденном пути принадлежат одному подмножеству сгущения; иначе $\gamma := 0$;

$P_3 - ПУ на A_6$, если $\gamma = I$;

A_5 — делает шаг назад по неудавшемуся пути (неудавшееся направление помечается);

P_4, P_5 — безусловно ПУ на A_3 ;

A_6 — делает m шагов назад по неудавшемуся пути, m — константа, связанная с конкретной реализацией (последняя точка оставшегося пути назначается выделенной, неудавшееся направление помечается);

$P_6 - ПУ на Y_1$, если выделенной точкой является начальная точка цепи;

$P_7 - ПУ на Y_2$, если длина пройденного пути равна длине искомой цепи;

P_8 — безусловно ПУ на A_4 ;

Y_1 — оператор конца, сигнализирующий о невозможности реализовать линейную структуру;

Y_2 — оператор успешного окончания.

4. Структура "кольцо".

ОПРЕДЕЛЕНИЕ 9. Подмножество ЭМ $M = \bigcup_{k=1}^{L_0} M_{t_k}$ позволяет реализовать подсистему структуры "кольцо", если через его элементы можно провести гамильтоновы циклы [9].

Таблица

Номер эксперимента	K	m	L	L ₀	t[сек]
1	3	1	25	17	5
	10	1	25	17	3
	20	1	25	17	3
2	1	1	25	20	4
	3	1	25	20	2
	10	1	25	20	1
3	3	1	36	21	4
	5	1	36	21	4
	7	1	36	21	4
	12	1	36	21	3
4	3	1	64	34	100
	3	2	64	34	45
	3	3	64	34	40
	3	5	64	34	35
	3	7	64	34	38
5	3	1	64	24	32
	3	2	64	24	9
	3	3	64	24	10
	3	4	64	24	12

Алгоритм распознавания структуры "кольцо" может быть также представлен схемой (4),

так как гамильтоновы циклы есть гамильтонова цепь, у которой начальный и конечный элементы являются соседними.

Примечание 1. Алгоритмы (3) и (4) могут эффективно использоваться при решении и более общих задач; например, задано ℓ ЭМ, требуется распознать в них подсистему структуры "линейка" с числом машин $k \leq \ell$.

Примечание 2. При невозможности реализовать на имеющихся машинах нужную структуру диспетчер прерывает работу

одной или нескольких соседних подсистем и производит новое распределение машин по подсистемам.

5. Численные эксперименты по проверке описанных алгоритмов были реализованы на машине "Минск-22". Моделировалась двумерная система с числом ЭМ: 25, 36, 64. Основное внимание уделялось алгоритму (4), типичные результаты реализации которого приведены в таблице (k, m - константы, используемые соответственно в операторах P_1 и A_6 алгоритма (4); L - общее число ЭМ в системе; L_0 - число машин в предполагаемой подсистеме, t - время распознавания линейной структуры).

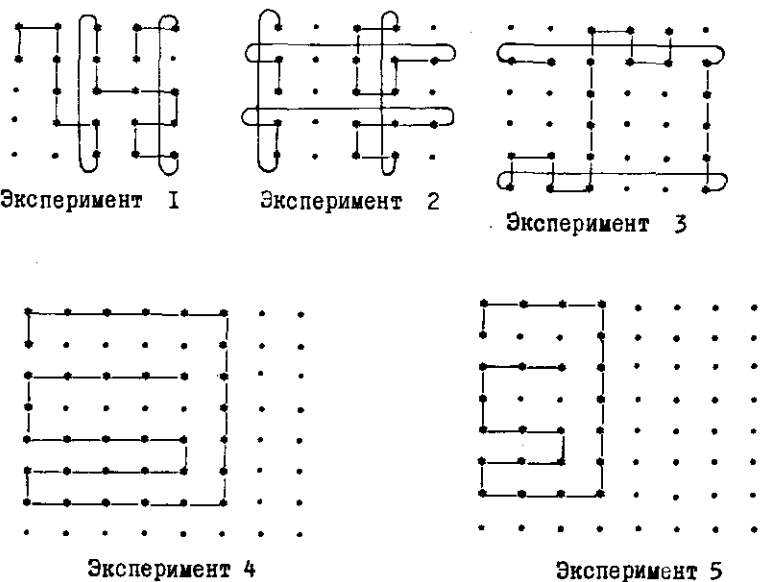


Рис. 3.

В экспериментах выявлялись гамильтоновы цепи, представ-
ленные схемами на рис. 3 (ЭМ подсистемы помечены значком "*").

Авторы благодарят Н.Л.Резник, оказавшую большую помощь в
проведении численных экспериментов.

Рассмотренные алгоритмы являются эффективными, не тре-
буют больших затрат машинного времени и могут применяться в

операционных системах для многомерных многомашинных однородных комплексов. Эти алгоритмы использованы в управляющей программе системы МИНИМАКС.

Л и т е р а т у р а

1. ЕВРЕИНОВ Э.В., КОСАРЕВ Ю.Г. Однородные универсальные вычислительные системы высокой производительности. Новосибирск. "Наука", 1966.
2. МИРЕНКОВ Н.Н. Диспетчирование в однородных вычислительных системах. - В кн.: Материалы 3-й Всесоюзной конференции по однородным вычислительным системам и средам. Таганрог, 1972, с. 51-54.
3. МИРЕНКОВ Н.Н. МИНИМАКС - вычислительная система кол-
лективного пользования. - В кн.: Вычислительные системы. Вып. 60. Новосибирск, 1974, с. 115-128.
4. КОСАРЕВ Ю.Г. О схемах обмена между ветвями параллель-
ных алгоритмов. - В кн.: Вычислительные системы. Вып. 51. Ново-
сибирск, 1972, с. 70-75.
5. КЕРБЕЛЬ В.Г., КОРНЕЕВ В.Д., МИРЕНКОВ Н.Н., ШЕРБАКОВ Е.В. Управляющая программа системы МИНИМАКС. - В кн.: Вычислительные системы. Вып. 60. Новосибирск, с. 123-142.
6. ВОРОБЬЕВ В.А. Простейшие структуры однородных вычисли-
тельных систем. - В кн.: Вычислительные системы. Вып. 60. Ново-
сибирск, 1974, с. 35-49.
7. УШАКОВ И.А. Об одном алгоритме проверки связности гра-
фа. - "Техническая кибернетика", 1967, № 4, с. 85-86.
8. ЗАКРЕВСКИЙ А.Д. Алгоритмы синтеза дискретных автоматов,
М., "Наука", 1971.
9. ОРЕ О. Теория графов. М., "Наука", 1968.

Поступила в ред.-изд. отд.
9 июля 1973 года